

بررسی تأثیر عامل کمپلکس کننده بر خواص مغناطیسی پودر نانو ذرات هگزافریت باریم سنترشده با روش سل - ژل احتراقی

علی شانقی (دانشجوی دکتری)

علیرضا صبور روح‌اقدم (دانشیار)

گروه مهندسی مواد، دانشگاه تربیت مدرس

کاظم بشاروتی گیوی (دانشیار)

دانشکده فنی، گروه مهندسی مکانیک، دانشگاه تهران

نوع مواد اولیه مورد استفاده در تهیه نانوذرات مغناطیسی از اهمیت به سزاوی برخوردار است. در بین مواد اولیه، عامل کمپلکس کننده یکی از مواد مؤثر بر اندازه ذرات، دمای زینترکردن و خواص مغناطیسی پودر هگزافریت باریم تهیه شده به روش سل - ژل احتراقی است. در این نوشتار با توجه به اهمیت نوع و میزان عامل کمپلکس کننده در اثرگذاری بر خواص ذرات مغناطیسی تهیه شده به روش سل - ژل احتراقی، دو نوع عامل کمپلکس کننده - اسید سیتریک و گلایسین - در تهیه پودر نانو ذرات هگزافریت باریم مورد استفاده قرار گرفته، و سپس با استفاده از مغناطیسی سنج ارتعاشی (VSM)، میکروسکوپ الکترونی روپیشی (SEM) و ترقه اشعه ایکس (XRD) تأثیر این عامل‌ها بر خواص مغناطیسی، ساختاری و فازی پودر هگزافریت باریم مورد بررسی قرار گرفت. بهترین خواص مغناطیسی سخت در دمای ۹۰ درجه سانتی‌گراد و اندازه ذرات ۳۱ نانومتر به وسیله‌ی عامل کمپلکس کننده گلایسین به دست آمده است.

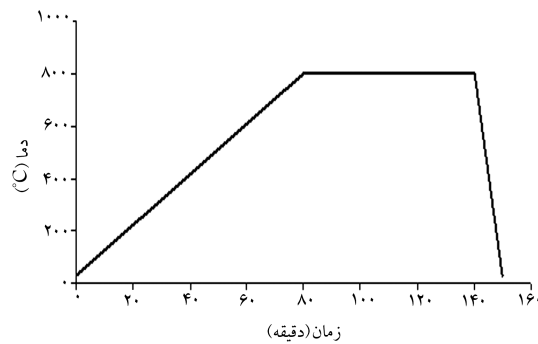
alishanaghi@gmail.com
sabour01@modares.ac.ir
Bgivi@ut.ac.ir

واژگان کلیدی: نانو ذرات، سل - ژل احتراقی، عامل کمپلکس کننده، خواص مغناطیسی، هگزافریت باریم.

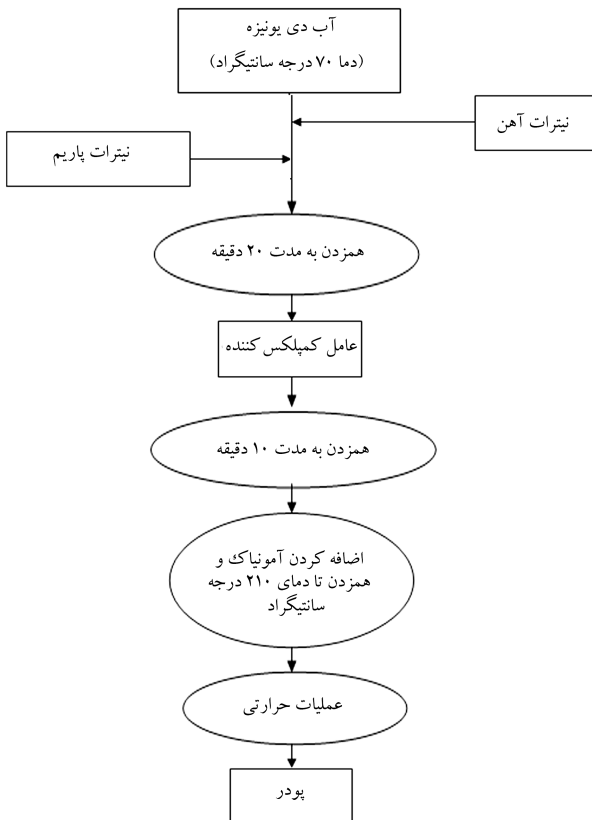
مقدمه

(سورفکتنت).^[۱۲-۹] مقدار مواد اولیه و نسبت آن‌ها در فرایند سل - ژل احتراقی در خواص نهایی محصول تأثیر به سزاوی دارند؛ عامل کمپلکس کننده نیز یکی از مواد اولیه است که تأثیر مهمی بر اندازه ذرات، دمای تکلیس (کلیسینه‌کردن) و خواص مغناطیسی پودر هگزافریت باریم دارد. عوامل کمپلکس کننده (اسید سیتریک و گلایسین) از طریق شرکت در واکنش‌ها و یونیزه شدن به گروه‌های آب دوست، آبگریزو و ادارنگی بالا مورد توجه است. در تهیه نانو ذرات هگزافریت باریم از روش‌های مختلف - روش هم‌رسوبی، هیدروترمال، سل - ژل، تبلور شیشه‌یی، روش مکانیکی - شیمیائی، سنتز به روش حمام نمک و سل - ژل احتراقی - بهره می‌گیرند. در این میان روش سل - ژل احتراقی به لحاظ برخورداری از همگنی و یکنواختی بالا، دمای زینتر پایین، درصد خلوص بالا، کنترل آسان فرایند تهیه پودر، دوپ کردن^۱ عناصر مختلف، مواد اولیه نسبتاً ارزان و در دسترس بودن، در صنایع مورد توجه قرار گرفته است.^[۸-۵] پارامترهای مؤثر بر فرایند سل - ژل احتراقی عبارت‌اند از: نوع مواد اولیه، درصد مواد اولیه، میزان pH، عامل کمپلکس کننده و عامل فعال سطحی اضافه کردن فعال‌های سطحی آئیونی یا کاتیونی کاوش یافته است.^[۱۰-۱۴] از طرفی یک ماده هرچه حوزه‌های کم تعدادی داشته باشد، نیروی کم‌تری برای هم‌جهت کردن حوزه‌های آن لازم است. حال اگر ماده‌یی تنها دارای یک حوزه باشد،

تاریخ: دریافت ۳۰، داوری ۱۳۸۸/۵/۱۳، پذیرش ۱۰، ۱۳۸۷/۶/۱۳.



شکل ۱. شماتیک چرخهٔ عملیات حرارتی.



شکل ۲. شماتیک سنتز نانو ذرات هگزافریت باریم.

تا ۸۰ درجه، خواص ساختاری بهوسیلهٔ میکروسکوپ الکترونی روشنی (SEM) و خواص مغناطیسی بهوسیلهٔ دستگاه مغناطیسی‌سنج ارتعاشی (VSM) مورد ارزیابی قرار گرفته است.

نتایج و بحث بررسی خواص فازی و ساختاری

میزان عامل کمپلکس کننده، تأثیر بهسازی در درجهٔ یونیزاسیون، همگنی، pH محلول، دمای تکلیس، اندازه ذرات، نوع فازهای موجود و در نهایت خواص مغناطیسی پودر هگزافریت باریم دارد. در جدول ۱ تأثیر pH (میزان اسیدسیتریک) به‌طور خلاصه بر نوع فاز موجود در دمای‌های تکلیس ۸۰°، ۸۵°، ۹۰°، ۹۵° و

۱۰۰° به هم‌جهت‌کردن آن با حوزه‌های دیگر نیست. همچنین از آنجا که قطر این حوزه‌ها در محدوده‌ی یک تا چند هزار نانومتر قرار دارد، ذره‌بی را که فقط قطر دارای یک حوزه باشد، می‌توان نانوپودر به شمار آورد. بنابراین نانوذرات نسبت به مواد ماکرو - به دلیل نسبت حوزه‌های دارای خواص مغناطیسی - بهتر و پایدارترند، به‌طوری که در فریت‌های مغناطیسی (سخت و نرم) پودرهای با ابعاد ۵۰۰ نانومتر [۱۰، ۹، ۵] در واقع فتاوری نانو می‌توانند مغناطیسی‌هایی با کیفیت بسیار بالا تولید کنند. از چندین جنبه منجر به بهبود مواد مغناطیسی می‌شود: ۱. ساخت مواد و ابزارهای مغناطیسی کوچک و در ابعاد چندصد نانومتری؛ ۲. تغییر و بهبود ساختار ذرات منجر به بهبود خاصیت مغناطیسی مواد شده است.

در این نوشتار سعی بر آن است که بدون استفاده از فعال‌های سطحی آنیونی و کاتیونی اندازه‌ی دانه و دمای تکلیس پودر نانو ذرات هگزافریت باریم کاهش یابد. بنابراین ضمن به‌کارگیری دو نوع عامل کمپلکس کننده - اسید سیتریک و گلایسین - در تهیهٔ پودر نانو ذرات هگزافریت باریم به‌روش سل - ژل احتراقی، تأثیر این دو نوع عامل کمپلکس کننده بر خواص مغناطیسی، ساختاری و فازی پودر هگزافریت با استفاده از مغناطیسی‌سنج ارتعاشی (VSM)، میکروسکوپ الکترونی روشنی (SEM) و تفرق اشعهٔ ایکس (XRD) بررسی شده است.

روش تحقیق

مواد اولیهٔ نیترات آهن ($\text{Fe}(\text{NO}_3)_3 \cdot 9\text{H}_2\text{O}$)، نیترات باریم ($\text{Ba}(\text{NO}_3)_2$ ، آب دی‌یونیزه، اسید سیتریک ($\text{C}_6\text{H}_5\text{O}_7 \cdot \text{H}_2\text{O}$)، گلایسین ($\text{C}_2\text{H}_5\text{O}_2 \cdot \text{H}_2\text{O}$) و آمونیاک به صورت خالص خریداری، و از آن‌ها در تهیهٔ محلول استفاده شد. براین اساس در تهیهٔ پودر هگزافریت باریم، ترکیبات آهن و نیترات باریم به عنوان مواد اولیه، آب دی‌یونیزه به عنوان حلal، اسید سیتریک و گلایسین به عنوان عامل کمپلکس کننده و آمونیاک به عنوان تنظیم‌کننده pH مورد استفاده قرار گرفته‌اند. در واقع نقش اسیدسیتریک و گلایسین، آزادکردن یون‌های Fe^{+3} و Ba^{+2} است و از آن‌ها به عنوان شروع‌کنندهٔ انجام واکنش گرمایزا و سوخت در محلول استفاده شده است.

پس از مخلوط‌کردن ۴/۸ گرم نیترات آهن و ۰/۲۳ گرم نیترات باریم با ۱۲ میلی‌لیتر آب دی‌یونیزه در دمای ۷۰ درجهٔ سانتی‌گراد، و هم‌زدن این محلول به مدت ۲۰ دقیقه، عامل کمپلکس کننده به محلول اضافه شد و عمل هم‌زدن به مدت ۱۰ دقیقه در دمای ۷۰ درجهٔ سانتی‌گراد ادامه یافت. در ادامه ۰/۲ میلی‌لیتر آمونیاک به محلول اضافه شد و سپس در مدت ۳۰ دقیقه درجهٔ حرارت به صورت پله‌یی و به تدریج تا ۲۱۰ درجهٔ سانتی‌گراد اضافه شد. پودر حاصل به مدت ۱ ساعت در دمای ۸۰°، ۸۵°، ۹۰°، ۹۵° و ۱۰۰° درجهٔ سانتی‌گراد تحت چرخهٔ عملیات حرارتی (شکل ۱) قرار گرفت. شماتیک فرایند سنتز پودر نانو ذرات مغناطیسی هگزافریت باریم با روش سل - ژل احتراقی به صورت شماتیک در شکل ۲ نشان داده شده است.

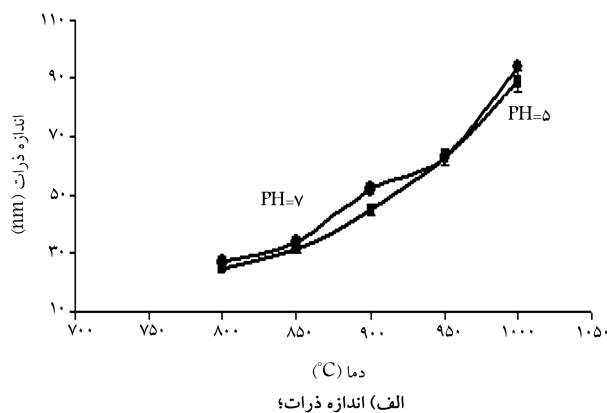
در این چرخهٔ عملیات حرارتی سرعت گرم‌کردن با توجه به توان کوره انتخاب شده و در مرحله‌ی سردکردن، پودر قهوه‌بی رنگ به سرعت در هوا سرد شده است. خواص فازی پودر نانو ذرات هگزافریت باریم به‌وسیلهٔ تفرق اشعهٔ ایکس (XRD) با اشعهٔ Cu Ka radiation ($1,5406 \text{ \AA}^\circ$) از زاویهٔ ۱۰

کاهش اندازه ذرات هگزافریت باریم شده است. اندازه ذرات به صورت تقریبی از طریق روش دبای شر^۲ به دست آمده است. یادآور می‌شود که در منحنی‌های XRD نانو ذرات هگزافریت باریم، پیک‌های مربوط به نانو ذرات پهن‌اند، اما در شکل ۳ با توجه به کوچک شدن مقیاس منحنی و گستردگی زاویه‌ی مورد بررسی (از ۱۰ درجه تا ۸۰ درجه)، پهنای پیک‌های مربوطه در ظاهر قابل ملاحظه نیستند، در حالی که منحنی XRD ارائه شده در این تحقیق کاملاً مشابه منحنی موجود در مقالات ارائه شده در این زمینه است.^[۲۱، ۲۴]

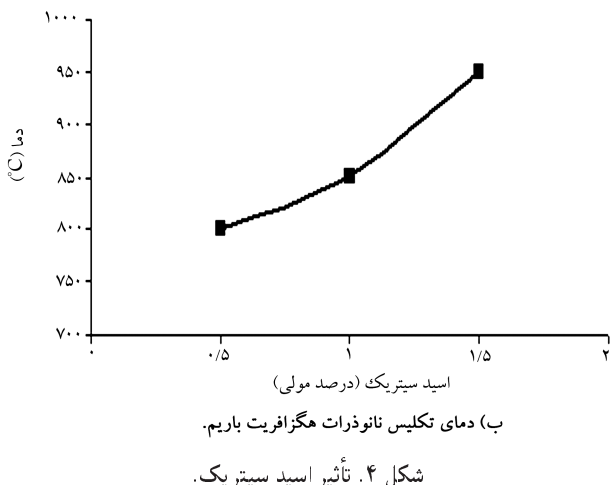
با این حال شکل ۴ ب شناسان می‌دهد که افزایش غلظت اسید سیتریک به بیش از ۱/۵ مول در محلول با کاهش pH به مقدار ۳ یا کمتر، خاصیت ضدکاتالیستی دارد و منجر به افزایش انرژی فعال‌سازی لازم برای تشکیل هگزافریت باریم و درنتیجه افزایش دمای تکلیس پودر شده است.

علاوه بر اسید سیتریک، گلایسین نیز به عنوان عامل کمپلکس‌کننده بر پارامترهایی همانند دمای تکلیس، اندازه ذرات، نوع فازهای موجود و خواص مغناطیسی پودر هگزافریت باریم تأثیرگذار است.^[۲۱] در جدول ۲ تأثیر درصد مولی گلایسین بر نوع فاز موجود در دمای تکلیس ۹۵۰، ۸۵۰، ۸۰۰، ۹۰۰، ۹۵۰ و ۱۰۰۰ درجه‌ی سانتی‌گراد، به صورت خلاصه ارائه شده است.

افزایش درصد مولی گلایسین همانند اسید سیتریک منجر به افزایش درصد گروه‌های هیدروکربونیل (COOH) و نهایتاً همگنی و یکنواختی پخش بون‌های فلزی Fe^{+3} و Ba^{+2} در محلول و کاهش اندازه دانه ذرات شده است. اما گلایسین، برخلاف اسید سیتریک، نقش کاتالیست افزاینده دارد و با کاهش انرژی فعال‌سازی،



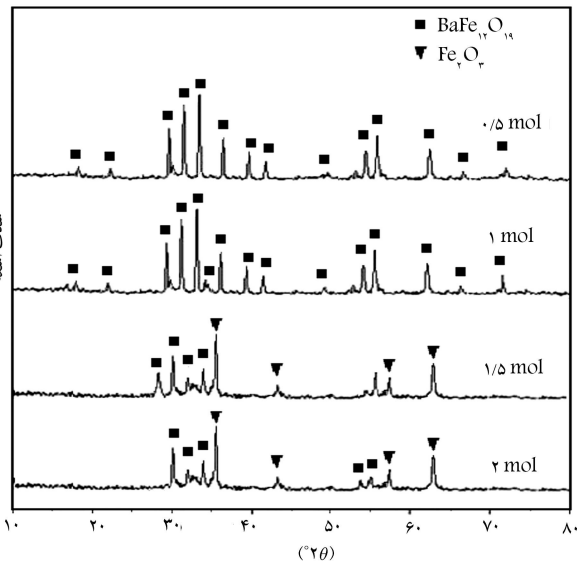
الف) اندازه ذرات؛



ب) دمای تکلیس نانوذرات هگزافریت باریم.
شکل ۴. تأثیر اسید سیتریک.

جدول ۱. تأثیر میزان اسید سیتریک بر نوع فازهای موجود در دمای‌های مختلف تکلیس.

pH=۷	pH=۵	pH=۳	pH=۱	دما (°C)
$BaFe_{12}O_{19}$	$\alpha - Fe_2O_3$,	$\alpha - Fe_2O_3$,	$\alpha - Fe_2O_3$,	۸۰۰
	$BaFe_{12}O_{19}$	$BaFe_{12}O_{19}$	$BaFe_{12}O_{19}$	
$BaFe_{12}O_{19}$	$BaFe_{12}O_{19}$	$\alpha - Fe_2O_3$,	$\alpha - Fe_2O_3$,	۸۵۰
		$BaFe_{12}O_{19}$	$BaFe_{12}O_{19}$	
$BaFe_{12}O_{19}$	$BaFe_{12}O_{19}$	$\alpha - Fe_2O_3$,	$\alpha - Fe_2O_3$,	۹۰۰
		$BaFe_{12}O_{19}$	$BaFe_{12}O_{19}$	
$BaFe_{12}O_{19}$	$BaFe_{12}O_{19}$	$BaFe_{12}O_{19}$	$\alpha - Fe_2O_3$,	۹۵۰
			$BaFe_{12}O_{19}$	
$BaFe_{12}O_{19}$	$BaFe_{12}O_{19}$	$BaFe_{12}O_{19}$	$\alpha - Fe_2O_3$,	۱۰۰۰
			$BaFe_{12}O_{19}$	

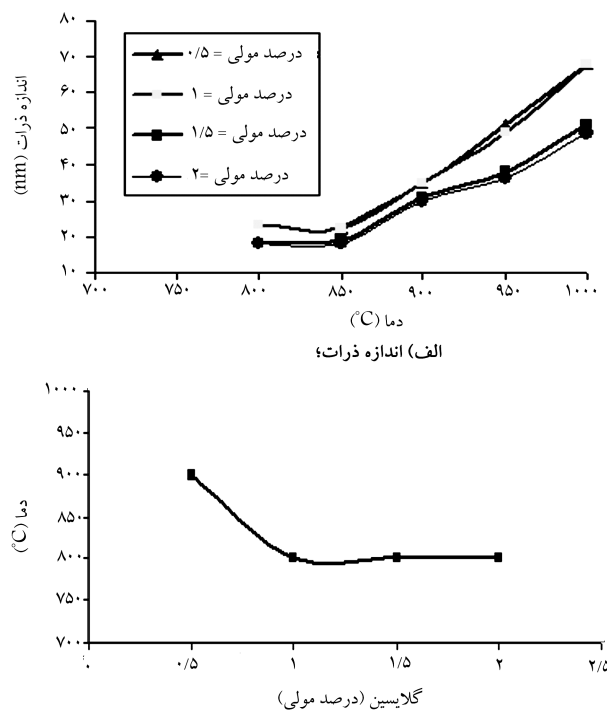


شکل ۳. منحنی XRD پودر هگزافریت باریم تهیه شده در درصدهای مختلف اسید سیتریک.

۱۰۰۰ درجه‌ی سانتی‌گراد ارائه شده، که کاملاً مطابق با نتایج ارائه شده در مقالات است.^[۱۹، ۲۱]

افزایش میزان اسید سیتریک منجر به کاهش pH و افزایش گروه‌های هیدروکربونیل (COOH) در محلول شده است. اگرچه حضور گروه هیدروکربونیل در محلول موجب همگنی و یکنواختی پخش بون‌های فلزی Fe^{+3} و Ba^{+2} در محلول و در نهایت کاهش اندازه دانه ذرات شده، کاهش pH به مقادیر کمتر از ۵ مانع از انجام واکنش‌های لازم به منظور تولید هگزافریت باریم خالص به صورت تک‌فاز می‌شود (شکل ۳).

اما در حالت pH=۳، در دمای‌های تکلیس ۹۵۰ و ۱۰۰۰ درجه‌ی سانتی‌گراد فاز هگزافریت باریم به صورت تک‌فاز مشاهده می‌شود. همچنین مطابق شکل ۴(الف) و نیز براساس نتایج حاصل از پژوهش محققین،^[۲۰] افزایش میزان اسید سیتریک به عنوان عامل پایدارکننده، از طریق احاطه‌ی بون‌های فلزی Fe^{+3} و Ba^{+2} موجب



ب) دمای تکلیس نانو ذرات هگزافریت باریم.
شکل ۶. تأثیر گلایسین.

یکنواختی پخش یون‌های فلزی Fe^{+3} و Ba^{+2} در محلول و در نهایت کاهش دمای زینترکردن از 85°C درجه‌ی سانتی‌گراد^[۲۱] به 80°C درجه‌ی سانتی‌گراد شده است.

بررسی خواص مغناطیسی

نیروی پسمانندزدایی مغناطیسی (Hc) از خواص ذاتی ماده نیست، بلکه یک خاصیت مغناطیسی است. این پارامتر و استگی شدیدی به ریساناختار ماده دارد، به طوری که می‌توان با کنترل ریساناختار آن را بهبود بخشدید.

پسمانندزدایی مغناطیسی و مغناطش^۳ اشباع توسط رابطه‌ی ۱ با یکدیگر مربوط‌اند.

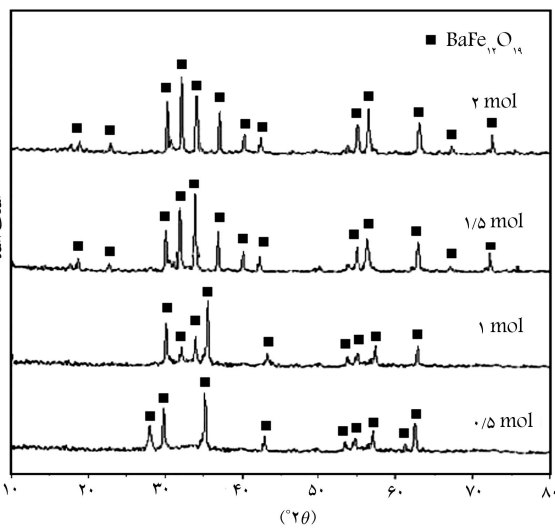
$$Hc = 2K/Ms \quad (1)$$

که در آن Hc پسمانندزدایی مغناطیسی، K ثابت ناهمسانگردی و Ms اشباع‌سازی مغناطیسی است. در جدول ۳ تغییرات Hc و Ms بر حسب تغییرات دمای تکلیس برای اسید سیتریک و گلایسین ارائه شده است. با افزایش دمای تکلیس تا 90°C درجه‌ی سانتی‌گراد، نیروی پسمانندزدایی مغناطیسی (Hc) ابتدا افزایش، و سپس کاهش یافته است. این رفتار برای هر دو عامل پایدارکننده مشاهده شده است.

با افزایش دمای تکلیس تا 90°C درجه‌ی سانتی‌گراد، در هر دو عامل پایدارکننده میزان ناهمسانگردی (K) افزایش یافته است، بنابراین نیروی بیشتری برای هم‌جهت‌کردن حوزه‌های مغناطیسی، و درنتیجه نیروی پسمانندزدایی مغناطیسی بیشتری برای پسمانندزدایی از نانو ذرات هگزافریت باریم نیاز است، اما از دمای 90°C درجه‌ی سانتی‌گراد به بالا میزان ناهمسانگردی حوزه‌های مغناطیسی کم‌تر می‌شود و نتیجتاً نیروی پسمانندزدایی مغناطیسی کم‌تری لازم است.

جدول ۲. تأثیر درصد مولی گلایسین بر نوع فازهای موجود در دمای‌های مختلف تکلیس.

درصد مولی (C°)	۲	۱,۵	۱	۰,۵	درصد مولی (C°)
$BaFe_{12}O_{19}$	$BaFe_{12}O_{19}$	$BaFe_{12}O_{19}$	$\alpha - Fe_2O_3$, $BaFe_{12}O_{19}$		80°C
$BaFe_{12}O_{19}$	$BaFe_{12}O_{19}$	$BaFe_{12}O_{19}$	$\alpha - Fe_2O_3$, $BaFe_{12}O_{19}$		85°C
$BaFe_{12}O_{19}$	$BaFe_{12}O_{19}$	$BaFe_{12}O_{19}$	$BaFe_{12}O_{19}$		90°C
$BaFe_{12}O_{19}$	$BaFe_{12}O_{19}$	$BaFe_{12}O_{19}$	$BaFe_{12}O_{19}$		95°C
$BaFe_{12}O_{19}$	$BaFe_{12}O_{19}$	$BaFe_{12}O_{19}$	$BaFe_{12}O_{19}$		100°C

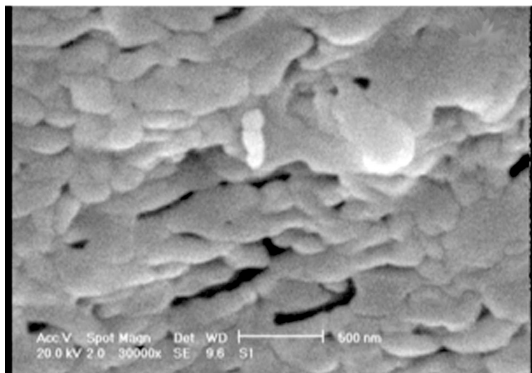


شکل ۵. منحنی XRD نانو ذرات هگزافریت باریم در درصدهای مختلف گلایسین.

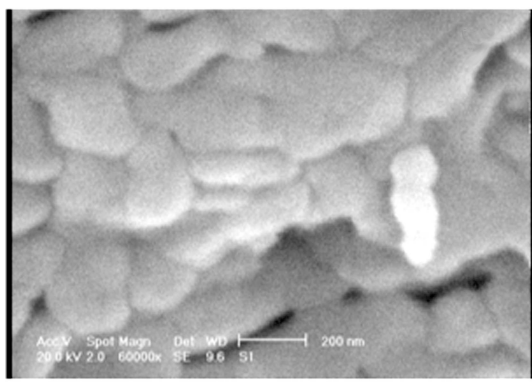
تشکیل فاز خالص نانو ذرات هگزافریت باریم به صورت تک فاز و در دمای 80°C درجه‌ی سانتی‌گراد را ممکن ساخته است (شکل ۵).

گلایسین از طریق: (الف) احاطه‌ی یون‌های فلزی و (ب) کاهش دمای تکلیس، موجب کاهش اندازه دانه‌ی ذرات فاز هگزافریت باریم می‌شود. رابطه‌ی بین درصدهای مختلف گلایسین و اندازه‌ی نانو ذرات هگزافریت باریم در شکل ۶الف نشان داده شده است.

حضور گلایسین در محلول و شرکت آن در واکنش تشکیل نانو ذرات هگزافریت باریم تابعی از غلظت گلایسین است، به طوری که در غلظت 0.5 درصد گلایسین، در دمای 80°C و 85°C درجه‌ی سانتی‌گراد ترکیبات ناخالصی آهن به همراه فاز هگزافریت باریم وجود دارد و برای تشکیل هگزافریت باریم به صورت تک فاز نیازمند دمای تکلیس بالاتری است. چنان‌که در شکل ۶ب مشاهده می‌شود، با افزایش درصد مولی گلایسین، هگزافریت باریم به صورت تک فاز در دمای 80°C درجه‌ی سانتی‌گراد تشکیل شده است. این نتایج کاملاً مطابق با نتایج ارائه شده در دیگر محققین^[۲۱] است با این تفاوت که در این نوشتار اضافه‌کردن مرحله به مرحله گلایسین، و نیز افزایش درصد گلایسین موجب افزایش همگنی و

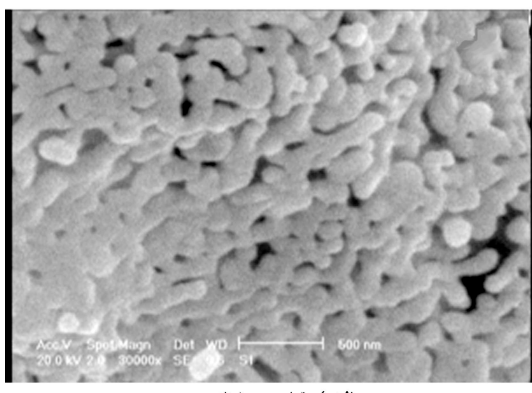


الف) مقیاس ۵۰۰ نانو متر.

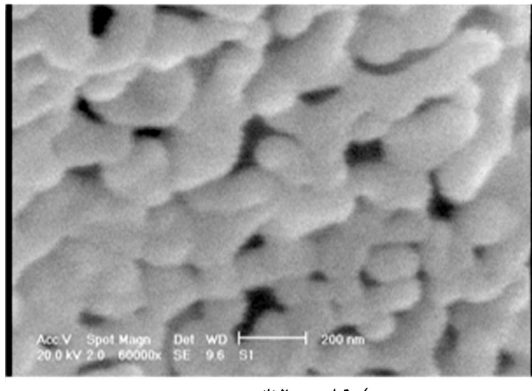


ب) مقیاس ۲۰۰ نانو متر.

شکل ۸. تصویر SEM پودر نانو ذرات هگزا فریت باریم سنتز شده با اسید سیتریک.



الف) مقیاس ۵۰۰ نانو متر.

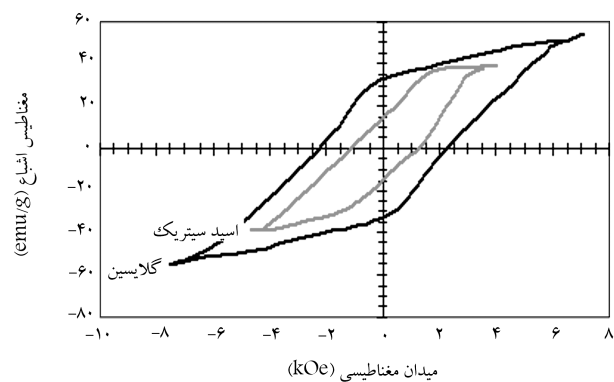


ب) مقیاس ۲۰۰ نانو متر.

شکل ۹. تصویر SEM پودر نانو ذرات هگزا فریت باریم سنتز شده با گلایسین.

جدول ۳. تغییرات Hc و Ms بر حسب تغییرات دمای تکلیس برای اسید سیتریک و گلایسین.

دما (°C)	اسید سیتریک	گلایسین	اسید سیتریک	گلایسین
	میدان مغناطیسی اشباع (Oe)	میدان مغناطیسی اشباع (emu/g)	میدان مغناطیسی اشباع (Oe)	میدان مغناطیسی اشباع (emu/g)
۸۰	۱۸۹۲	۳۹	۶۴۸۱	۳۴
۸۵	۲۰۴۵	۴۳	۶۴۲۵	۴۶
۹۰	۲۸۷۲	۴۴	۶۸۱۱	۵۴
۹۵	۲۲۶۵	۵۱	۶۰۷۳	۵۵
۱۰۰	۲۴۱۸	۵۲	۵۹۱۶	۵۹



شکل ۷. حلقه‌ی پسماند مغناطیسی برای نانو ذرات هگزا فریت باریم سنتز شده در دمای ۹۰ درجه‌ی سانتی‌گراد و ۱ درصد مولی گلایسین و ۱/۵ درصد مولی اسید سیتریک.

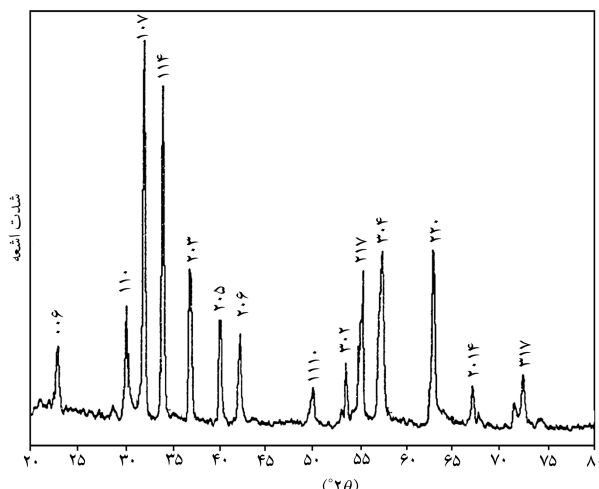
در شکل ۷ حلقه‌ی پسماند مغناطیسی برای نانو ذرات هگزا فریت باریم سنتز شده در دمای ۹۰ درجه‌ی سانتی‌گراد ۱/۵ درصد مولی گلایسین و ۱ درصد مولی اسید سیتریک نشان داده است. چنان که مشاهده می‌شود، پودر نانو ذرات سنتز شده با عامل پایدارکننده‌ی گلایسین به لحاظ مغناطیسی، دارای خاصیت مغناطیسی سخت‌تری نسبت به پودر سنتز شده با اسید سیتریک است. در حقیقت استفاده از عامل گلایسین منجر به بهبود خواص مغناطیسی پودر نانو ذرات هگزا فریت باریم در مقایسه با نتایج به دست آمده‌ی پیشین توسعه محققین است^[۲۲, ۲۳] که در آن از عوامل کمکی نظیر تری‌متیل آمین و EDTA استفاده شده. البته قابل ذکر است که درصد گلایسین تأثیر به سرایی در کاهش دمای سنتز و اندازه دانه‌ی ذرات و در نهایت خواص مغناطیسی پودر نانو ذرات هگزا فریت باریم دارد، به طوری که استفاده از درصد بهینه‌ی گلایسین در این نوشتار منجر به افزایش پسمانندزدای مغناطیسی از (۳۹۸۰ Oe)^[۲۱] به (۶۴۲۵ Oe)^[۲۲] و نیز کاهش اندازه ذرات از ۱۰۰ نانومتر^[۲۳] به ۳۱ نانومتر شده است.

در شکل‌های ۸ و ۹ تصاویر SEM پودر نانو ذرات هگزا فریت باریم سنتز شده در دمای ۹۰ درجه‌ی سانتی‌گراد نشان‌دهنده‌ی یکنواختی و همگنی بیشتر نانو ذرات سنتز شده با عامل پایدارکننده‌ی گلایسین نسبت به اسید سیتریک در مقیاس ۵۰۰ و ۲۰۰ نانومتر است. کوچک و همکن تربون نانو ذرات هگزا فریت باریم سنتز شده با گلایسین نسبت به اسید سیتریک احتمالاً عامل بسیار مهمی در تغییرات نیروی پسمانندزدای مغناطیسی است.

درجه‌ی سانتی‌گراد با عامل کمپلکس‌کننده‌ی گلاسین مؤید حضور فاز خالص نانو ذرات همگرا فریت بازیم به صورت تک ذرات است.

نتیجه‌گیری

بهترین پودر همگرا فریت بازیم با اندازه دانه‌ی ۳۱ نانومتر به وسیله‌ی سنتز نیترات‌های فلزی با عامل کمپلکس‌کننده‌ی گلاسین با درصد مولی ۱ و دمای تکلیس ۹۰۰ درجه‌ی سانتی‌گراد به دست آمده است. همگنی و یکنواختی بالای پودرهای سنتز شده با گلاسین نسبت به پودرهای سنتز شده با اسید سیتریک منجر به بهبود خواص مغناطیسی سخت پودر نانو ذرات همگرا فریت بازیم شده است. با افزایش درصد مولی گلاسین، دمای تکلیس و اندازه ذرات کاهش می‌یابد، درحالی که افزایش درصد مولی اسید سیتریک موجب افزایش دمای تکلیس و اندازه ذرات شده است. در واقع افزایش بیش از ۱ درصد مولی اسید سیتریک در سنتز همگرا فریت بازیم همانند کاتالیست کاهنده در واکنش تشکیل همگرا فریت بازیم عمل کرده و از تشکیل آن در دماهای پایین جلوگیری می‌کند، درحالی که گلاسین برخلاف اسید سیتریک به عنوان کاتالیست افزاینده، شدت انجام واکنش همگرا فریت بازیم حتی در دماهای پایین را بهبود بخشیده است. بهترین خاصیت مغناطیسی مربوط به فریت‌های سخت در پودر سنتز شده با گلاسین و دمای تکلیس ۹۰۰ درجه‌ی سانتی‌گراد به دست آمده که دارای خاصیت اشباع‌سازی مغناطیسی $g/54\text{emu}$ است. رفتار پسماندزدای مغناطیسی برای پودرهای به دست آمده از هر دو عامل کمپلکس‌کننده کاملاً مشابه‌اند، به طوری که پسماندزدای مغناطیسی با افزایش دمای تکلیس تا حد ۹۰۰ درجه‌ی سانتی‌گراد و افزایش ناهمسانگردی k ، افزایش باقته اما در ادامه، پسماندزدای مغناطیسی با افزایش دمای تکلیس و کاهش ناهمسانگردی k کاهش یافته است.



شکل ۱۰. منحنی XRD پودر نانو ذرات همگرا فریت بازیم سنتز شده در دمای ۹۰۰ درجه‌ی سانتی‌گراد و ۱ درصد مولی گلاسین.

تصاویر SEM نشان‌دهنده‌ی این است که پودر حاصل از گلاسین متخلخل‌تر است، و با افزایش تخلخل موجود در پودر گرمای حاصل از احتراق سریع تر از سیستم خارج می‌شود؛ درنتیجه نزدیک شدن ذرات در حین احتراق کاهش می‌یابد. هرچه پودر حاصل ریزتر باشد، نسبت سطح مقطع به حجم بالاتر خواهد بود و درنتیجه نفوذ اتم‌ها آسان‌تر صورت می‌گیرد و موجب کاهش دمای تکلیس، کاهش اندازه و همگنی پیشتر نانو ذرات همگرا فریت بازیم سنتز شده با عامل کمپلکس‌کننده‌ی گلاسین نسبت به نانو ذرات همگرا فریت بازیم سنتز شده با عامل کمپلکس‌کننده‌ی اسید سیتریک می‌شود. در شکل ۱۰ منحنی XRD مربوط به پودر سنتز شده در دمای ۹۰۰

پانوشت

1. doping
2. debye scherrer
3. magnetization

منابع

1. Rashad, M.M.; Radwan, M. and Hessien, M.M. "Effect of Fe/Ba mole ratios and surface-active agents on the formation and magnetic properties of co-precipitated barium hexaferrite", *Journal of Alloys and Compounds*, **453**, pp. 304-308 (2008).
2. Fu, Y.P.; Lin, C.H. and Pan, K.Y. "Barium ferrite powders prepared by microwave-induced combustion process and some of their properties", *Journal of Alloys and Compounds*, **364**, pp. 221-224 (2004).
3. Topal, U.; Ozkan, H. and Dorosinskii, L. "Finding optimal Fe/Ba ratio to obtain single phase BaFe₁₂O₁₉ pre-
- pared by ammonium nitrate melt technique", *Journal of Alloys and Compounds*, **428**, pp. 17-21 (2007).
4. Duong, G.V. and Groessinger, R. "Effect of preparation conditions on magnetoelectric properties of CoFe₂O₄-BaTiO₃ magnetoelectric composites", *Journal of Magnetism and Magnetic Materials*, **316**, pp. 624-627 (2007).
5. Limin, D. and Zhidong, H. "Synthesis of hexagonal barium ferrite nanoparticle by sol-gel method", *Rare Metals*, **25**, Spec. Issue, p. 605 (Oct. 2006).
6. Shirtcliffe, N.J.; Thompson, S.; O'Keefe, E.S.; Appleton, S. and Perry, C.C. "Highly aluminum doped barium and strontium ferrite nanoparticles prepared by citrate auto-combustion synthesis", *Materials Research Bulletin*, **42**, pp. 281-287 (2007).
7. Mendoza-Suárez, G. "Influence of stoichiometry and heat treatment conditions on the magnetic properties and phase constitution of Ba-ferrite powders prepared by sol-gel", *Materials Chemistry and Physics*, **77**, pp. 796-801 (2002).

8. Haijun, Z. and Zhichao, L. "Preparation and microwave properties of Co- and Ti-doped barium ferrite by citrate sol-gel process", *Materials Chemistry and Physics*, **80**, pp. 129-134 (2003).
9. Ogasawara, T. and Oliveira, M.A.S. "Microstructure and hysteresis curves of the barium hexaferrite from co-precipitation by organic agent", *Journal of Magnetism and Magnetic Materials*, **217**, pp. 147-154 (2000).
10. Liu, X.; Wang, J.; Gan, L.M. and Ng, S.C. "Improving the magnetic properties of hydrothermally synthesized barium ferrite", *Journal of Magnetism and Magnetic Materials*, **195**, pp. 452-459 (1999).
11. Yu, H.F. and Huang, K.C. "Effects of pH and citric acid contents on characteristics of ester-derived BaFe₁₂O₁₉ powder", *Journal of Magnetism and Magnetic Materials*, **260**, pp. 455-461 (2003).
12. Feng, Y.B.; Qiu, T. and Shen, C.Y. "Absorbing properties and structural design of microwave absorbers based on carbonyl iron and barium ferrite", *Journal of Magnetism and Magnetic Materials*, **318**, pp. 8-13 (2007).
13. Wang, L. and Zhang, Q. "The effect of pH values on the phase formation and properties of BaFe₁₂O₁₉ prepared by citrate-EDTA complexing method", *Journal of Alloys and Compounds*, **454**, pp. 410-414 (2008).
14. Patil, K.C.; Aruna, S.T. and Mimani, T. "Combustion synthesis: an update", *Current Opinion in Solid State and Materials Science*, **6**, pp. 507-512 (2002).
15. Ogasawara, T. and Oliveira, M.A.S. "Microstructure and hysteresis curves of the barium hexaferrite from co-precipitation by organic agent", *Journal of Magnetism and Magnetic Materials*, **217**, pp. 147-154 (2000).
16. Meshram, M.R. and Agrawal, N.K. "Characterization of M-type barium hexagonal ferrite-based wide band microwave absorber", *Journal of Magnetism and Magnetic Materials*, **271**, pp. 207-214 (2004).
17. Feng, Y.B. and Qiu, T. "Absorbing properties and structural design of microwave absorbers based on carbonyl iron and barium ferrite", *Journal of Magnetism and Magnetic Materials*, **318**, pp. 8-13 (2007).
18. Hsuan-Fu Yu and Pei-Chi Liu. "Effects of pH and calcinations temperatures on the formation of citrate-derived hexagonal barium ferrite particles", *Journal of Alloys and Compounds*, **416**, pp. 222-227 (2006).
19. Guoqing Xu; Hongliang Ma; Minjian Zhong; Jiong Zhou; Yuezhong Yue and Zhengming He, "Influence of pH on characteristics of BaFe₁₂O₁₉ powder prepared by sol-gel auto-combustion", *Journal of Magnetism and Magnetic Materials*, **301**, pp. 383-388 (2006).
20. Mali, A. and Ataie, A. "Influence of the metal nitrates to citric acid molar ratio on the combustion process and phase constitution of barium hexaferrite particles prepared by sol-gel combustion method", *Ceramics International*, **30**, pp. 1979-1983 (2004).
21. Qiu, J.; Liang, L. and Gu, M. "Nanocrystalline structure and magnetic properties of barium ferrite particles prepared via glycine as a fuel", *Materials Science and Engineering*, **A393**, pp. 361-365 (2005).
22. Salemizadeh, S. and Seyyed Ebrahimi, S.A. "Influence of Fe/Ba ratio, basic agent and calcination temperature on the physical properties of nanocrystalline barium hexaferrite thin films prepared by a sol-gel method", *Journal of Non-Crystalline Solids*, **355**, pp. 982-985 (2009).
23. Xu, G.; Ma, H.; Zhong, M.; Zhou, J.; Yue, Y. and He, Z. "Influence of pH on characteristics of BaFe₁₂O₁₉ powder prepared by sol-gel auto-combustion", *Journal of Magnetism and Magnetic Materials*, **301**, pp. 383-388 (2006).

